

КРАТКИЕ СООБЩЕНИЯ

УДК 532.593

СХОДЯЩАЯСЯ УДАРНАЯ ВОЛНА В ЖИДКОМ ВОДОРОДЕ

B. V. Сильвестров, B. M. Титов
(Новосибирск)

Интерес к уравнению состояния водорода и его изотопов при высоких давлениях определяется рядом физических и газодинамических постановок [1—4]. Вследствие малой плотности водорода в конденсированной фазе развитые методы сжатия в прямой ударной волне дают относительно невысокие величины давлений. Для жидкого водорода реализованные значения достигают 39,5 кбар при использовании пластины, разогнанной взрывом до 5,9 км/с [5]. Применение танталового ударника, ускоренного до 7,0 км/с с помощью двухступенчатой легкогазовой пушки, позволяет получить в жидком дейтерии 220 кбар в прямой волне и 940 кбар — в отраженной [1]. Многократное сжатие жидкого водорода между двумя пластинами реализует давления около 470 кбар [6]. Достижение давлений в плоской ударной волне более $2,2 \div 3,0$ Мбар, при которых возможен переход водорода в металлическое состояние [7, 8], затруднено относительно низкими скоростями ударников.

Ограниченнность методов одномерного нагружения стимулирует поиск схем многократного сжатия в условиях сходящейся геометрии. С помощью методов, основанных на многократном отражении сходящейся цилиндрической волны, в водороде достигнуты давления около 150 кбар [2] и 8 Мбар [7]. Непосредственное измерение интересующих величин связано при этом со значительными трудностями, обусловленными геометрией опытов. В то же время максимальный прирост давления и плотности происходит при отражении сходящейся сферической ударной волны. Кроме того, при замене части сферы идеальной жесткой стенкой становится возможным измерение ряда величин в области высоких параметров вещества без нарушения условий схождения волны.

В данной работе рассмотрена возможность применения метода сферической кумуляции для создания в жидком водороде сильной ударной волны. Постановка экспериментов показана на рис. 1. Блок взрывчатого вещества 1 инициируется по наружной поверхности ударным способом с помощью системы, использующей известный принцип «мышеловки» [9], видоизмененный применительно к сферической геометрии. Общий вес ВВ 1,6 кг. Стальная оболочка 2 толщиной $\delta=0,2$ см, двигаясь под действием продуктов взрыва, возбуждает в полусферическом объеме радиуса $R=3$ см, заполненном жидким водородом, сходящуюся ударную волну. Отклонения от симметрии, нарушающие идеальную кумуляцию и определяемые неодновременностью Δt выхода детонационной волны на границу ВВ — оболочка, невелики: $\Delta t \cdot D / (R + \delta) \leq 0,1$, где D — скорость детонации используемого ВВ. В стальном основании 3 расположен цилиндрический канал радиуса $r=0,5$ см. Для непрерывного измерения скорости сходящейся волны по оси канала вводится реостатный датчик 4 на основе металлического капилляра диаметра 0,4 мм [10]. Точность измерения скорости фронта U_s не хуже 10%.

В газодинамических экспериментах при адиабатическом расширении ударно-сжатого водорода канал являлся секцией высокого давления ударной трубы. При этом он отделялся от своего вакуумированного продолжения (стеклянная трубка), являющейся секцией низкого давления, тефлоновой или металлической диафрагмой толщиной $0,02 \div 0,04$ мм. В трубке находился воздух при давлении $0,1 \div 10$ торр. Скорость фронта возникающего течения измерялась с помощью СФР на расстоянии $15 \div 40$ см от диафрагмы.

На рис. 2 представлены результаты измерения скорости сходящейся ударной волны в жидком водороде. Данные рис. 2, а, на котором приведена $x - t$ -диаграмма схождения волны в безразмерных координатах x/R и $t = c_0 t / R$, позволяют говорить о хоро-

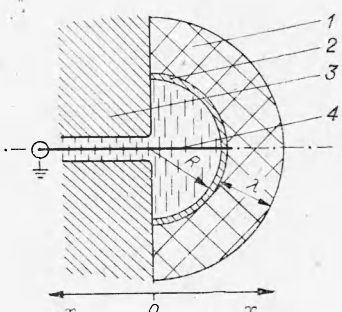


Рис. 1.

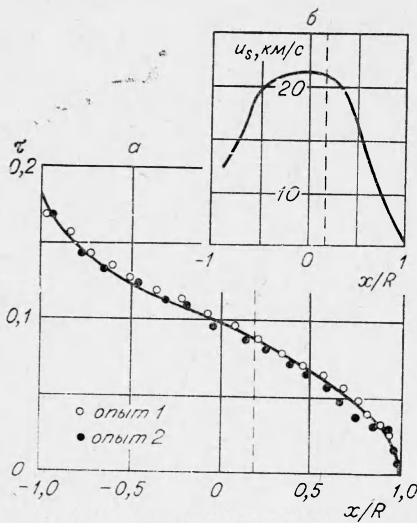


Рис. 2.

Наличие участка с мало меняющейся скоростью ≈ 20 км/с (рис. 2, б) позволяет применить приближение стационарной одномерной волны для оценки параметров за фронтом сходящейся волны. На основании [1, 2, 5] при $U_s = 20$ км/с массовая скорость $U_p \approx 15$ км/с, удельный объем $V \approx 7,1$ см³/моль, давление на фронте $p_s \approx 210$ кбар и полная энергия единицы массы $\varepsilon_s = U_p^2 / 2 \approx 220$ кДж/г. Начальному значению $U_s = 6$ км/с соответствует $p_s \approx 13$ кбар и $\varepsilon_s \approx 9$ кДж/г; т. е. давление и энергия во фронте увеличиваются в 16 и 24 раза соответственно.

Результаты газодинамических экспериментов, показывают, что расширение ударно-сжатого водорода из начального состояния хорошо описывается адиабатой разгрузки вида $P = k\rho^\gamma$ с $\gamma = 1,4$, полученной при расширении ударно-сжатого до 60 кбар водорода в условиях цилиндрической геометрии [3]. Одна из типичных регистрограмм приведена на рис. 3 ($\rho = 0,2$ торр, расстояние между метками 5 см, скорость развертки 3 мм/мкс), из которой видно, что характер течения существенно не изменился сравнительно [3]. При давлении воздуха в секции низкого давления 0,1 торр зарегистрирована массовая скорость границы расширяющегося водорода $\approx 46,5$ км/с. Затухание на базе измерений незначительное. Заметим, что применение в данном типе взрывной ударной трубы тонкой диафрагмы позволяет свести до минимума влияние диафрагмы на процесс формирования ударной волны в канале.

Таким образом, применение метода сферической кумуляции позволяет получать сходящуюся волну в жидким водороде с давлением около 210 кбар. При разгрузке ударно-сжатого водорода в вакуумированный объем реализуются ударные волны со скоростями ≈ 50 км/с. Отметим возможность выравнивания профиля волны в цилиндрическом канале с целью приближения его к плоскому и получения более высоких дав-

шней воспроизводимости процесса кумуляции (x — координата по оси канала (см. рис. 1), c_0 — скорость звука в жидким водороде при нормальных условиях, t — время). Зависимость $U_s(x/R)$, изображенная на рис. 2, б, указывает на возможность получения в жидким водороде ударных волн с $U_s \approx 20 \div 22$ км/с. Изменение характера роста U_s объясняется совместным действием ряда причин, ограничивающих кумуляцию: 1) отличием реальной геометрии от сферической из-за существования начальных неоднородностей на фронте волны; 2) конечной жесткостью основания З и его возмущающим действием, сводящимся к развитию пограничного слоя за фронтом; 3) ограниченной толщиной слоя ВВ $\lambda \approx R$, приводящей к образованию волны разгрузки за фронтом волны; 4) наличием канала (штрихом на рис. 2 обозначена граница области влияния канала), однако невысокая точность измерения скорости не позволяет сделать однозначного вывода. Не исключена возможность ограничения кумуляции диссилиативными процессами, хотя конечный радиус зонды не слишком мал сравнительно с начальным. Все это затрудняет сопоставление зависимости $U_s(x/R)$ с известными решениями [11].

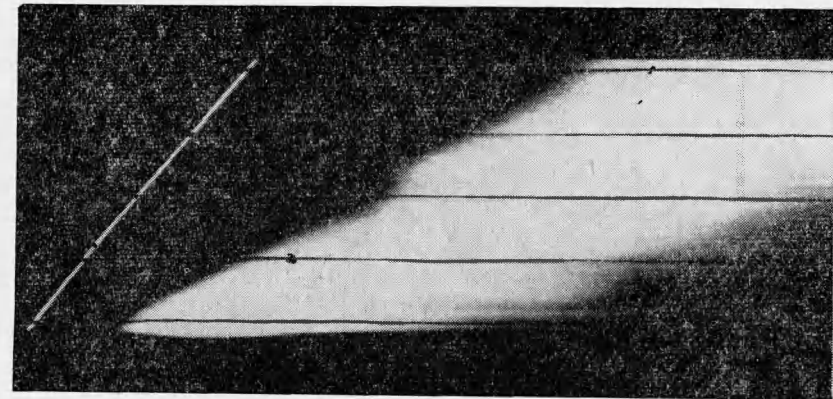


Рис. 3.

лений в отраженной волне, а также возможность с помощью полученного потока высокоскоростного ускорения тел.

В заключение укажем, что возможности устройства, использующего схождение сферической волны в газе, исследованы в работе [12]. При возбуждении детонации в «центре» полусферического объема, заполненного стехиометрической смесью $2\text{H}_2 + \text{O}_2$, рассматривалась кумуляция отраженной полусферической ударной волны, усиленной действием тонкого слоя ВВ. С помощью этого устройства были получены плоские ударные волны в воздухе при 0,1 торр со скоростью около 19 км/с и изучались возможности применения его для высокоскоростного метания тел.

Авторы признательны М. А. Лаврентьеву за интерес к задаче, В. П. Урушкину и Н. Н. Горшкову за помощь в экспериментах.

Поступила в редакцию
14/X 1974

ЛИТЕРАТУРА

1. M. van Thiel, M. Ross et al. Phys. Rev. Lett., 1973, **31**, 16.
2. W. G. Hoover, M. Ross et al. Phys. Earth Planet. Interiors, 1972, **6**, 60.
3. V. M. Titov, V. V. Sil'vestroff. In book: «Recent Developments in Shock Tube Research». Proc. IX-th Int. Shock Tube Symp., Stanford, 1973, p. 526.
4. Л. В. Альтшуллер, Е. А. Дынин, В. А. Свидинский. Письма в ЖЭТФ, 1973, **17**, 1, 20.
5. M. van Thiel, B. J. Alder. Mol. Phys., 1966, **10**, 427.
6. С. А. Бордзиловский, С. М. Караканов, В. М. Титов. ФГВ, 1974, **10**, 2, 265.
7. Ф. В. Григорьев, С. Б. Кормер и др. Письма в ЖЭТФ, 1972, **16**, 5, 286.
8. M. Ross. J. Chem. Phys., 1974, **60**, 9, 3634.
9. Берстайн, Геттельман. Приборы для научных исследований, 1966, **10**, 89.
10. Рибович, Уотсон, Гибсон. РТИК 1968, **6**, 7, 51.
11. Я. Б. Зельдович, Ю. П. Райзнер. Физика ударных волн и высокотемпературных и гидродинамических явлений. М., «Наука», 1966.
12. I. Glass, S. K. Chap, H. L. Brode. AIAA J., 1974, **12**, 3, 367.

УДК 536.46

УСЛОВИЕ ПРОРЫВА ПЛАМЕНИ ПРИ ГОРЕНИИ ПАСТЫ, ВЫДАВЛИВАЕМОЙ ИЗ КАНАЛА

Л. К. Гусаченко, А. Д. Марголин
(Томск)

Горение вытекающей из каналов пасты, содержащей окислитель и горючее, может быть использовано в технических устройствах [1, 2]. Возможность прорыва пламени в канал исследуется аналогично работе [3]. При этом учитываются свойства пасты. Считаем, что пламя не проникает в канал, если всюду (на любом расстоянии r от оси) скорость $v(r)$ потока больше скорости $u(r, p)$ горения, которая наблюдалась бы при достижении этого места поверхностью горения. В качестве $v(r)$ используется распределение скорости при стабилизированном течении в круглой трубе, в пренебрежении изменением, которое это распределение приобретает вблизи свободной поверхности (поверхности горения). Известно, что зависимость скорости горения от радиуса хорошо аппроксимируется ступенчатой функцией

$$u(r, p) = \begin{cases} 0 & a - \Delta x < r < a \\ u(p) & r < a - \Delta x. \end{cases} \quad (1)$$

Здесь a — радиус канала. Вблизи стенки $u=0$ (горение невозможно) из-за больших теплопотерь, при $r < a - \Delta x$ влиянием теплопотерь можно пренебречь. Расстояние Δx совпадает по порядку величины с легко определяемым экспериментально критическим диаметром d^* (максимальным диаметром канала с неподвижной пастой, горение в котором еще невозможно из-за теплопотерь в стенки):

$$\Delta x \sim d^* \sim \chi/u(p) \quad (2)$$

(χ — температуропроводность пасты).